

# THÉORIE DES $\infty$ -CATÉGORIES

PAR

M. NICOLAS

---



# TABLE DES MATIÈRES

<b>Table des matières</b>	<b>1</b>
<b>I Quasi-catégories</b>	<b>3</b>
<b>1 Ensembles simpliciaux</b>	<b>5</b>
1.1 Objets simpliciaux . . . . .	5
1.2 Ensembles simpliciaux . . . . .	7
1.3 Structure cartésienne fermée . . . . .	11
1.4 Squelettes et cosquelettes . . . . .	14
1.5 Réalisation géométrique . . . . .	16
1.6 Catégorie d'homotopie . . . . .	16
<b>2 Constructions join et slice</b>	<b>17</b>
2.1 Joins . . . . .	17
<b>II <math>\infty</math>-catégories stables</b>	<b>19</b>
<b>A Catégories de modèles</b>	<b>21</b>
1.1 Problèmes de relèvement . . . . .	21
1.2 Systèmes de factorisation faibles . . . . .	25
1.3 Catégories de modèles . . . . .	29
<b>B Théorie de l'homotopie abstraite</b>	<b>31</b>
2.1 Catégories homotopiques . . . . .	31
2.2 Catégorie des objets fibrants . . . . .	31
2.3 Homotopie dans une catégorie de modèles . . . . .	31
<b>C Structures de Cisinski</b>	<b>33</b>
3.1 Petitesse dans les catégories de préfaisceaux . . . . .	33
3.2 Cylindres . . . . .	36
3.3 Structures de Cisinski . . . . .	38



Première partie

Quasi-catégories



# CHAPITRE 1

---

## ENSEMBLES SIMPLICIAUX

### 1.1 Objets simpliciaux

**1.1.1. Catégorie des simplexes** — Si  $n$  est un entier naturel, on note  $[n]$  l'ensemble

$$[n] := \{0, 1, \dots, n\}$$

muni de l'ordre usuel.

On définit alors une petite catégorie  $\Delta$ , appelée **catégorie des simplexes**, dont les objets sont les  $[n]$  pour  $n \in \mathbf{N}$  et les morphismes sont les applications croissantes.

**Définition 1.2.** Étant donnée une catégorie  $\mathbf{C}$ , un **objet simplicial** de  $\mathbf{C}$  est un foncteur  $\Delta^{\text{op}} \rightarrow \mathbf{C}$ . La catégorie des objets simpliciaux de  $\mathbf{C}$  est notée  $\mathbf{sC}$ .

Un **objet cosimplicial** de  $\mathbf{C}$  est un objet simplicial de  $\mathbf{C}^{\text{op}}$ , autrement dit un foncteur  $\Delta \rightarrow \mathbf{C}$ .

**1.3. Simplexes** — Un objet simplicial  $X: \Delta^{\text{op}} \rightarrow \mathbf{C}$  d'une certaine catégorie  $\mathbf{C}$  consiste en la donnée

- pour tout  $n$ , d'un objet  $X_n := X([n])$  de  $\mathbf{C}$  des  **$n$ -simplexes** de  $X$
- pour tout  $n \geq 1$  et  $0 \leq i \leq n$ , d'un morphisme

$$d_i: X_n \rightarrow X_{n-1}$$

dit de  **$i$ -ième face**

- pour tout  $n$  et tout  $0 \leq i \leq n$ , d'une  **$i$ -ième dégénérescence**

$$s_i: X_n \rightarrow X_{n+1}$$

vérifiant les relations suivantes

C'est une conséquence du résultat de factorisation des morphismes de  $\Delta$  (TODO).

**Proposition 1.4.** Étant données deux catégories  $\mathbf{C}$  et  $\mathbf{D}$ , la catégorie  $\text{Fon}(\mathbf{C}, \mathbf{D})$  est complète (resp. cocomplète) si  $\mathbf{D}$  l'est, et les foncteurs d'évaluation

$$\text{ev}_x: \text{Fon}(\mathbf{C}, \mathbf{D}) \rightarrow \mathbf{D}$$

préservent<sup>1</sup> les limites (resp. les colimites) pour tout objet  $x$  de  $\mathbf{C}$ .

*Démonstration*

Supposons  $\mathbf{D}$  complète, et fixons  $F: I \rightarrow \text{Fon}(\mathbf{C}, \mathbf{D})$  un diagramme de  $\text{Fon}(\mathbf{C}, \mathbf{D})$ . Le foncteur  $F$  induit par adjonction un foncteur  $I \times \mathbf{C} \rightarrow \mathbf{D}$ , puis un foncteur

$$F': \mathbf{C} \rightarrow \text{Fon}(I, \mathbf{D})$$

---

1. On dit que les limites (resp. les colimites) de  $\text{Fon}(\mathbf{C}, \mathbf{D})$  sont calculées terme à terme.

Par hypothèse sur  $\mathbf{D}$ , il existe de plus un foncteur limite

$$\lim_I: \text{Fon}(I, \mathbf{D}) \rightarrow \mathbf{D}$$

Pour tout morphisme  $\alpha: i \rightarrow j$  de  $I$ , la commutativité du diagramme de  $\text{Fon}(\text{Fon}(I, \mathbf{D}), \mathbf{D})$

$$\begin{array}{ccc} \lim_I & \longrightarrow & \text{ev}_j \\ \downarrow & \nearrow \alpha_* & \\ \text{ev}_i & & \end{array}$$

fournit, par précomposition par  $F'$ , un diagramme commutatif

$$\begin{array}{ccc} L & \longrightarrow & F(j) \\ \downarrow & \nearrow \alpha_* & \\ F(i) & & \end{array}$$

de  $\text{Fon}(\mathbf{C}, \mathbf{D})$ , où  $L := \lim_I \circ F'$ .

Montrons que ces flèches font de  $L$  une limite du diagramme  $F$ . Fixons à cette fin un foncteur  $G: \mathbf{C} \rightarrow \mathbf{D}$  et des transformations naturelles  $G \rightarrow F(i)$  pour chaque  $i \in I$  faisant commuter les diagrammes

$$\begin{array}{ccc} G & \longrightarrow & F(j) \\ \downarrow & \nearrow \alpha_* & \\ F(i) & & \end{array}$$

pour tout morphisme  $\alpha: i \rightarrow j$  de  $I$ . L'évaluation en  $x \in \mathbf{C}$  fournit un morphisme

$$u(x): G(x) \rightarrow L(x)$$

naturel en  $x$ , autrement dit la famille  $(u(x))_{x \in \mathbf{C}}$  définit une transformation naturelle

$$u: G \rightarrow L$$

Réciproquement, une telle transformation naturelle  $u: G \rightarrow L$  induit une famille de transformations naturelles  $G \rightarrow L \rightarrow F(i)$  indexée par  $i \in I$ , définissant un cône au-dessus de  $F$ .

Ces constructions sont manifestement inverses l'une de l'autre, d'où

$$L := \lim_I F$$

Par construction

$$\text{ev}_x(L) = L(x) = \lim_I F'(x) = \lim_I \text{ev}_x \circ F$$

pour tout  $x \in \mathbf{C}$ , autrement dit le foncteur  $\text{ev}_x: \text{Fon}(\mathbf{C}, \mathbf{D}) \rightarrow \mathbf{D}$  commute aux limites.

**Corollaire 1.5.** *La catégorie  $\mathbf{sC}$  est complète (resp. cocomplète) dès que la catégorie  $\mathbf{C}$  l'est, et les foncteurs d'évaluation  $\text{ev}_n: \mathbf{sC} \rightarrow \mathbf{C}$  préservent les limites (resp. colimites).*

**1.6. Objet opposé** — Le squelette de la catégorie  $\text{FinLin}$  des ensembles finis totalement ordonnés



s'identifie à  $\Delta$ , si bien que l'involution

$$\text{op}: \text{FinLin} \simeq \text{FinLin}$$

envoyant un ensemble fini totalement ordonné  $I$  sur l'objet  $I^{\text{op}}$  de même ensemble sous-jacent mais d'ordre opposé induit une unique involution

$$\text{op}: \Delta \simeq \Delta$$

faisant commuter le diagramme

$$\begin{array}{ccc} \text{FinLin} & \xrightarrow{\text{op}} & \text{FinLin} \\ \downarrow \simeq & & \downarrow \simeq \\ \Delta & \xrightarrow{\text{op}} & \Delta \end{array}$$

où les flèches verticales sont des équivalences de catégories.

Concrètement, l'endofoncteur  $\text{op}: \Delta \rightarrow \Delta$  envoie chaque ensemble  $[n]$  sur lui-même, et une flèche  $\alpha: [m] \rightarrow [n]$  sur le morphisme  $\alpha^{\text{op}}: [m] \rightarrow [n]$  défini par

$$\alpha^{\text{op}}(i) := n - \alpha(m - i)$$

pour tout  $0 \leq i \leq m$ .

La précomposition par  $\text{op}: \Delta \simeq \Delta$  fournit alors naturellement un automorphisme involutif

$$\text{op}: \text{sC} \simeq \text{sC}$$

pour toute catégorie  $\mathbf{C}$ , envoyant un objet simplicial  $X$  de  $\mathbf{C}$  sur l'objet opposé  $X^{\text{op}}$ .

## 1.2 Ensembles simpliciaux

**Définition 1.7.** Un **ensemble simplicial** est un objet simplicial dans  $\mathbf{Ens}$ , donc un préfaisceau

$$X: \Delta^{\text{op}} \rightarrow \mathbf{Ens}$$

Un **sous-ensemble simplicial** de  $X$  est un ensemble simplicial  $Y$  pour lequel  $Y_n \subseteq X_n$  pour tout  $n$ , et tel que ces inclusions s'assemblent en une flèche  $Y \rightarrow X$ .

*Remarque 1.8.* Si  $X$  est un ensemble simplicial, une famille  $(Y_n)_{n \in \mathbf{N}}$  d'ensembles  $Y_n \subseteq X_n$  détermine un sous-ensemble simplicial  $Y \subseteq X$  si et seulement si la fonction

$$f^*: X_n \rightarrow X_m$$

envoie  $Y_n$  sur  $Y_m$  pour toute flèche  $f: [m] \rightarrow [n]$ . Il est bien sûr suffisant de le vérifier seulement pour les faces et les dégénérescences.

**Proposition 1.9.** La catégorie  $\text{sEns}$  des ensembles simpliciaux est bicomplète, et les (co)limites se calculent terme à terme.

*Démonstration*

La catégorie **Ens** est bicomplète, et le corollaire 1.5 permet de conclure.

**Définition 1.10.** Si  $n$  est un entier naturel, le  $n$ -simplexe standard désigne l'ensemble simplicial

$$\Delta^n := \text{Hom}_\Delta(-, [n])$$

représenté par  $[n]$ .

La formule  $[n] \mapsto \Delta^n$  définit un objet cosimplicial  $\Delta^\bullet$  de **sEns**.

*Remarque 1.11.* Le lemme de Yoneda fournit pour tout  $n$  un isomorphisme

$$\text{Hom}_{\mathbf{sEns}}(\Delta^n, -) \simeq \text{ev}_n$$

entre foncteurs  $\mathbf{sEns} \rightarrow \mathbf{Ens}$ , donné par la formule  $\sigma \mapsto \sigma(\text{id}_{[n]})$ .

Cette identification est naturelle en  $n$ , au sens où le diagramme

$$\begin{array}{ccc} \text{Hom}_{\mathbf{sEns}}(\Delta^n, -) & \xrightarrow{\alpha^*} & \text{Hom}_{\mathbf{sEns}}(\Delta^m, -) \\ \downarrow \simeq & & \downarrow \simeq \\ \text{ev}_n & \xrightarrow{\alpha^*} & \text{ev}_m \end{array}$$

commute pour tout  $\alpha: [m] \rightarrow [n]$ . Autrement dit, on dispose d'un isomorphisme naturel

$$\text{Hom}_{\mathbf{sEns}}(\Delta^\bullet, -) \simeq \text{ev}_\bullet$$

entre objets simpliciaux de  $\text{Fon}(\mathbf{sEns}, \mathbf{Ens})$ .

On fera dans la suite implicitement l'amalgame, pour un ensemble simplicial  $X$ , entre l'ensemble  $X_n$  des  $n$ -simplexes de  $X$  et celui des morphismes  $\Delta^n \rightarrow X$  pour tout  $n$ .

**1.12. Bord et cornets** — Étant donné un entier naturel  $n$ , le **bord** du  $n$ -simplexe est le sous-ensemble simplicial strict

$$\partial\Delta^n \subset \Delta^n$$

défini par

$$(\partial\Delta^n)_m := \left\{ \alpha: [m] \rightarrow [n] \mid \alpha \text{ non surjective} \right\}$$

pour tout  $m$ .

Pour  $0 \leq i \leq n$ , on définit un sous-ensemble simplicial  $\Lambda_i^n \subset \Delta^n$  par

$$(\Lambda_i^n)_m := \left\{ \alpha: [m] \rightarrow [n] \mid [n] \subset \{i\} \cup \text{Im } \alpha \right\}$$

L'ensemble simplicial  $\Lambda_i^n$  est appelé  $i$ -ième **cornet** de  $\Delta^n$ .

**Définition 1.13.** Soit  $X$  un ensemble simplicial.

1) Un  $n$ -simplexe  $\Delta^n \rightarrow X$  est dit **dégénéré** s'il factorise

$$\Delta^n \longrightarrow \Delta^m \longrightarrow X$$

avec  $m < n$ .

- 2) Un simplexe **non-dégénéré** de  $X$  est un simplexe qui n'est pas dégénéré.  
On note  $X_n^{\text{nd}}$  le sous-ensemble de  $X_n$  formé des  $n$ -simplexes non-dégénérés pour tout  $n$ .
- 3) Si  $X$  est non vide, la **dimension** de  $X$  est un entier potentiellement infini défini comme

$$\dim X := \sup \{ n \in \mathbf{N} \mid X_n^{\text{nd}} \neq \emptyset \}$$

La sous-catégorie pleine de  $\mathbf{sEns}$  formée des ensembles simpliciaux de dimension au plus  $n$  est notée  $\mathbf{sEns}^{\leq n}$ .

*Remarque 1.14.* Un morphisme  $f: X \rightarrow Y$  entre ensembles simpliciaux induit pour tout  $n$  une application  $X_n \rightarrow Y_n$  dont on vérifie qu'elle envoie pour nos identifications un  $n$ -simplexe  $\sigma: \Delta^n \rightarrow X$  de  $X$  sur la composée

$$\Delta^n \xrightarrow{\sigma} X \xrightarrow{f} Y$$

En particulier, l'image d'un simplexe dégénéré est encore dégénérée.

*Remarque 1.15.* Le lemme de Yoneda met en bijection les rétractions de la forme

$$\Delta^n \longrightarrow \Delta^m \longrightarrow \Delta^n \quad \text{et} \quad [n] \longrightarrow [m] \longrightarrow [n]$$

Si  $n$  est fixé, on en déduit que le  $n$ -simplexe  $\text{id}_{\Delta^n}$  de  $\Delta^n$  est non-dégénéré, d'où

$$\dim \Delta^n = n$$

car tout simplexe de  $\Delta^n$  factorise manifestement par  $\Delta^n$ .

**Proposition 1.16.** *Tout simplexe  $\sigma: \Delta^n \rightarrow X$  d'un ensemble simplicial  $X$  factorise uniquement*

$$\Delta^n \xrightarrow{\alpha_*} \Delta^m \xrightarrow{\tau} X$$

où  $\alpha$  est un morphisme  $[n] \rightarrow [m]$  surjectif et  $\tau$  est un simplexe non-dégénéré. L'entier  $m$  est appelé **dimension effective** de  $\sigma$ .

*Démonstration*

Ayant fixé un  $n$ -simplexe de  $X$ , on peut se donner une factorisation

$$\Delta^n \xrightarrow{\alpha_*} \Delta^m \xrightarrow{\sigma} X$$

avec  $\alpha: [n] \rightarrow [m]$  surjective qui minimise  $m$ . La non-dégénérescence de  $\sigma$  est alors évidente, d'où l'existence.

Pour l'unicité, considérons un carré commutatif d'ensembles simpliciaux

$$\begin{array}{ccc} \Delta^n & \xrightarrow{\beta_*} & \Delta^m \\ \downarrow \alpha_* & & \downarrow \tau \\ \Delta^\ell & \xrightarrow{\sigma} & X \end{array}$$

avec  $\alpha: [n] \rightarrow [\ell]$  et  $\beta: [n] \rightarrow [m]$  surjectives et  $\sigma$  et  $\tau$  non-dégénérés. On suppose de plus  $\ell \leq m$  sans perdre en généralité. Il existe par surjectivité une section  $\gamma: [m] \rightarrow [n]$  de  $\beta$ , et alors

$$\sigma(\alpha\gamma) = \tau(\beta\gamma)$$

$$= \tau(\text{id}_{[m]})$$

Autrement dit  $\tau$  factorise

$$\Delta^m \xrightarrow{\alpha_* \gamma_*} \Delta^\ell \xrightarrow{\sigma} X$$

ce qui impose  $m = \ell$  par non-dégénérescence de  $\tau$  et la surjectivité de la composée  $\alpha\gamma$ . L'unique automorphisme de l'ensemble ordonné fini  $[m]$  étant l'identité, il vient que  $\gamma$  est également une section de  $\alpha$ . En particulier la factorisation ci-dessus se réécrit simplement

$$\tau = \sigma$$

Remarquons que ce qui précède établit que toute section de  $\beta$  est une section de  $\alpha$ . On vérifie alors que l'image réciproque de tout point  $i \in [m]$  par  $\beta$  est contenue dans l'image réciproque de  $i$  par  $\alpha$ , autrement dit  $\alpha = \beta$ .

**Corollaire 1.17.** *On a l'égalité*

$$\dim X \times Y = \dim X + \dim Y$$

dès que  $X$  et  $Y$  sont deux ensembles simpliciaux non vides.

*Démonstration*

TODO

**Lemme 1.18.** *Si  $X$  est un ensemble simplicial, alors deux  $m$ -simplexes  $\sigma$  et  $\tau$  de  $X$  de dimensions effectives inférieures à  $n$  sont égaux si et seulement si le diagramme*

$$\Delta^\ell \xrightarrow{\alpha_*} \Delta^m \begin{matrix} \xrightarrow{\sigma} \\ \xrightarrow{\tau} \end{matrix} X$$

commute pour tout morphisme  $\alpha: [\ell] \rightarrow [m]$  avec  $\ell \leq n$ .

*Démonstration*

La proposition 1.16 permet d'écrire

$$\sigma = \alpha^* \lambda \quad \text{et} \quad \tau = \beta^* \mu$$

avec  $\lambda$  et  $\mu$  des simplexes de  $X$  non-dégénérés, et  $\alpha: [m] \rightarrow [k]$  et  $\beta: [m] \rightarrow [\ell]$  surjectives. Les entiers  $k$  et  $\ell$  sont inférieurs à  $n$  par hypothèse.

La commutativité du diagramme indexé par n'importe quelle section  $\gamma$  de  $\alpha$  fournit

$$\begin{aligned} \lambda &= \gamma^* \tau \\ &= (\beta\gamma)^* \mu \end{aligned}$$

donc  $k \leq \ell$  et  $\beta\gamma: [k] \rightarrow [\ell]$  est injective. Il vient par symétrie du problème que  $k = \ell$ , et on en déduit les égalités  $\beta\gamma = \text{id}$  puis

$$\lambda = \mu$$

On a également montré que toute section de  $\alpha$  était une section de  $\beta$ , d'où  $\alpha = \beta$  par le même argument que celui utilisé pour établir l'unicité dans la preuve de la proposition 1.16. Finalement  $\sigma = \tau$ , d'où ce qu'il fallait démontrer.

**Proposition 1.19.** *Si  $\Delta^{\leq n}$  désigne la sous-catégorie pleine de  $\Delta$  formée des objets de cardinal au plus  $n + 1$ , alors le foncteur de restriction  $\mathbf{sEns} \rightarrow \mathbf{Fon}((\Delta^{\leq n})^{\text{op}}, \mathbf{Ens})$  induit une équivalence de catégories*

$$\mathbf{sEns}^{\leq n} \simeq \mathbf{Fon}((\Delta^{\leq n})^{\text{op}}, \mathbf{Ens})$$

En particulier  $\mathbf{sEns}^{\leq n}$  est bicomplète.

*Démonstration*

Si  $S$  est un préfaisceau sur  $\Delta^{\leq n}$ , alors on définit pour tout entier naturel  $m$  un ensemble  $\bar{S}_m$  par la formule

$$\bar{S}_m := \{ (\alpha, \sigma) \mid \alpha: [m] \rightarrow [k] \text{ avec } k \leq n \text{ et } \sigma \in S_k \} / \sim$$

où  $\sim$  est la relation d'équivalence définie par  $(\alpha, \sigma) \sim (\beta, \tau)$  si et seulement si  $(\alpha\omega)^*\sigma = (\beta\omega)^*\tau$  pour tout morphisme  $\omega: [\ell] \rightarrow [m]$  avec  $\ell \leq n$ .

Une flèche  $[\ell] \rightarrow [m]$  induit manifestement une fonction  $\bar{S}_m \rightarrow \bar{S}_\ell$  par précomposition, ce qui munit la famille des ensembles  $\bar{S}_m$  d'une structure d'ensemble simplicial  $\bar{S}$ . Remarquons de plus qu'un  $m$ -simplexe  $[\alpha, \sigma]$  de  $\bar{S}$  avec  $\sigma \in S_k$  s'écrit

$$[\alpha, \sigma] = \alpha^*[\text{id}_{[k]}, \sigma]$$

autrement dit factorise par  $\alpha_*: \Delta^m \rightarrow \Delta^k$ . Ainsi  $\bar{S}$  est de dimension au plus  $n$ .

La construction  $S \mapsto \bar{S}$  est clairement fonctorielle en  $S$ , et définit par conséquent une flèche

$$\mathbf{Fon}((\Delta^{\leq n})^{\text{op}}, \mathbf{Ens}) \rightarrow \mathbf{sEns}^{\leq n}$$

dont on va montrer qu'elle est quasi-inverse au foncteur

$$T: \mathbf{sEns}^{\leq n} \rightarrow \mathbf{Fon}((\Delta^{\leq n})^{\text{op}}, \mathbf{Ens})$$

de restriction.

Si  $X$  est un ensemble simplicial, on vérifie à l'aide du lemme 1.18 que la formule  $[\alpha, \sigma] \mapsto \alpha^*\sigma$  définit naturellement un monomorphisme

$$\overline{T(X)} \hookrightarrow X$$

et c'est un isomorphisme si et seulement si  $\dim X \leq n$ .

Réciproquement si  $S$  est un préfaisceau sur  $\Delta^{\leq n}$ , alors on a manifestement pour tout  $m \leq n$  une bijection naturelle  $\bar{S}_m \simeq S_m$  donnée par  $[\alpha, \sigma] \mapsto \alpha^*\sigma$ . On en déduit une identification naturelle

$$T(\bar{S}) \simeq S$$

ce qui conclut la preuve.

### 1.3 Structure cartésienne fermée

**1.20. Densité des préfaisceaux représentables** — Soit  $\mathbf{C}$  est une petite catégorie. Le plongement pleinement fidèle de Yoneda  $\iota: \mathbf{C} \hookrightarrow \hat{\mathbf{C}} := \mathbf{Fon}(\mathbf{C}^{\text{op}}, \mathbf{Ens})$  permet d'identifier  $\mathbf{C}$  à une sous-catégorie pleine de  $\hat{\mathbf{C}}$ .

Si  $X$  est un préfaisceau sur  $\mathbf{C}$ , on forme par ce qui précède la catégorie  $\mathbf{C}_{/X}$  des représentables au-dessus de  $X$ . Plus concrètement, c'est la catégorie dont les objets sont les morphismes  $A \rightarrow X$  où  $A$  est un préfaisceau représentable et dont les morphismes sont les morphismes au-dessus de  $X$ . On dispose d'un foncteur d'oubli

$$e: \mathbf{C}_{/X} \rightarrow \mathbf{C}$$

et d'une flèche canonique

$$\operatorname{colim}_{\mathcal{C}/X} \iota e \rightarrow X$$

Elle induit par précomposition une transformation naturelle

$$\operatorname{Hom}_{\hat{\mathcal{C}}}(X, -) \longrightarrow \operatorname{Hom}_{\hat{\mathcal{C}}}(\operatorname{colim}_{\mathcal{C}/X} \iota e, -) \xrightarrow{\simeq} \lim_{\mathcal{C}/X} \operatorname{Hom}_{\hat{\mathcal{C}}}(\iota e, -)$$

que l'on note  $\Phi$ .

Si  $Y$  est un préfaisceau sur  $\mathcal{C}$ , le lemme de Yoneda fournit réciproquement des identifications naturelles

$$\begin{aligned} \lim_{\mathcal{C}/X} \operatorname{Hom}_{\hat{\mathcal{C}}}(\iota e, Y) &\simeq \lim_{\mathcal{C}/X} Y e \\ &\simeq \operatorname{Hom}_{\hat{\mathcal{C}}}(X, Y) \end{aligned}$$

dont la composée est manifestement un inverse à droite de  $\Phi(Y)$ , donc un inverse. Finalement  $\Phi$  est un isomorphisme naturel, et une dernière application du lemme de Yoneda garantit que la flèche tautologique fournit en fait un isomorphisme de préfaisceaux

$$X \simeq \operatorname{colim}_{\mathcal{C}/X} \iota e$$

En particulier tout préfaisceau est colimite de préfaisceaux représentables.

Cette écriture est de plus naturelle en  $X$ , au sens où un morphisme  $f: X \rightarrow Y$  de préfaisceaux induit par composition un foncteur  $f_*: \mathcal{C}/X \rightarrow \mathcal{C}/Y$  au-dessus de  $\mathcal{C}$ , puis un diagramme commutatif

$$\begin{array}{ccc} \operatorname{colim}_{\mathcal{C}/X} \iota e & \xrightarrow{f_*} & \operatorname{colim}_{\mathcal{C}/Y} \iota e \\ \simeq \downarrow & & \downarrow \simeq \\ X & \xrightarrow{f} & Y \end{array}$$

dans  $\hat{\mathcal{C}}$ .

**Proposition 1.21.** *Si  $\mathcal{C}$  est une petite catégorie, si  $\mathcal{D}$  est une catégorie et si  $F: \hat{\mathcal{C}} \rightarrow \mathcal{D}$  est un foncteur préservant les colimites, alors  $F$  est canoniquement adjoint à gauche au foncteur  $G: \mathcal{D} \rightarrow \hat{\mathcal{C}}$ , défini en  $y \in \mathcal{D}$  par la formule*

$$G(y) := (x \mapsto \operatorname{Hom}_{\mathcal{D}}(F\iota(x), y))$$

où  $\iota: \mathcal{C} \hookrightarrow \hat{\mathcal{C}}$  désigne le plongement de Yoneda.

*Démonstration*

Le lemme de Yoneda fournit un isomorphisme naturel

$$\operatorname{Hom}_{\mathcal{D}}(F\iota(-), -) \simeq \operatorname{Hom}_{\hat{\mathcal{C}}}(\iota(-), G(-))$$

entre foncteurs  $\mathcal{C}^{\text{op}} \times \mathcal{D} \rightarrow \mathbf{Ens}$ .

Si  $X$  est un préfaisceau, on en déduit en reprenant les notations introduites en 1.20 des identi-

fications

$$\begin{aligned}
\mathrm{Hom}_{\mathbf{D}}(F(X), -) &\simeq \mathrm{Hom}_{\mathbf{D}}(F(\mathrm{colim}_{\mathcal{C}/X} \iota e), -) \\
&\simeq \mathrm{Hom}_{\mathbf{D}}(\mathrm{colim}_{\mathcal{C}/X} F \iota e, -) \\
&\simeq \lim_{\mathcal{C}/X} \mathrm{Hom}_{\mathbf{D}}(F \iota e, -) \\
&\simeq \lim_{\mathcal{C}/X} \mathrm{Hom}_{\hat{\mathcal{C}}}(\iota e, G(-)) \\
&\simeq \mathrm{Hom}_{\hat{\mathcal{C}}}(\mathrm{colim}_{\mathcal{C}/X} \iota e, G(-)) \\
&\simeq \mathrm{Hom}_{\hat{\mathcal{C}}}(X, G(-))
\end{aligned}$$

entre foncteurs  $\mathbf{D} \rightarrow \mathbf{Ens}$ , chacune étant manifestement naturelle en  $X$ . Finalement  $F$  et  $G$  forment un couple de foncteurs adjoints.

**Corollaire 1.22.** *Si  $\mathcal{C}$  est une petite catégorie, alors la catégorie  $\hat{\mathcal{C}}$  possède une structure cartésienne fermée canonique, l'exponentielle de deux préfaisceaux  $X$  et  $Y$  étant donnée par*

$$Y^X := (x \mapsto \mathrm{Hom}_{\hat{\mathcal{C}}}(X \times \iota(x), Y))$$

où  $\iota: \mathcal{C} \hookrightarrow \hat{\mathcal{C}}$  est le plongement de Yoneda.

*Démonstration*

Si  $X$  est un préfaisceau fixé, le foncteur

$$X \times -: \hat{\mathcal{C}} \rightarrow \hat{\mathcal{C}}$$

préserve les colimites. La proposition 1.4 permet en effet de le vérifier terme à terme dans  $\mathbf{Ens}$ , où c'est vrai car  $S \times -: \mathbf{Ens} \rightarrow \mathbf{Ens}$  est un adjoint à gauche pour tout ensemble  $S$ .

La proposition 1.21 appliquée au foncteur  $X \times -$  fournit alors une adjonction, où l'adjoint à droite  $(-)^X$  est donné par la formule voulue.

**1.23. Restriction aux ensembles simpliciaux** — Le corollaire 1.22 munit la catégorie  $\mathbf{sEns}$  des ensembles simpliciaux d'une structure cartésienne fermée canonique.

Plus concrètement, si  $X$  et  $Y$  sont deux ensembles simpliciaux, leur [exponentielle](#) est un nouvel ensemble simplicial  $Y^X$  défini par

$$(Y^X)_n := \mathrm{Hom}_{\mathbf{sEns}}(X \times \Delta^n, Y)$$

pour tout entier naturel  $n$ . Remarquons de plus que l'objet  $\Delta^0$  est initial dans  $\mathbf{sEns}$ , si bien les 0-simplexes de  $Y^X$  ne sont autres que les flèches  $X \rightarrow Y$ . Plus précisément, on dispose d'une identification

$$(Y^X)_0 \simeq \mathrm{Hom}_{\mathbf{sEns}}(X, Y)$$

naturelle en  $X$  et  $Y$ .

Si maintenant  $X$ ,  $Y$  et  $Z$  sont trois ensembles simpliciaux, alors l'adjonction entre les foncteurs endofoncteurs  $- \times Y$  et  $(-)^Y$  de  $\mathbf{sEns}$  signifie que l'on dispose de bijections

$$\mathrm{Hom}_{\mathbf{sEns}}(X \times Y, Z) \simeq \mathrm{Hom}_{\mathbf{sEns}}(X, Y^Z)$$

naturelles en  $X$  et  $Z$ . La théorie générale des catégories cartésiennes fermées garantit en fait également la naturalité en  $Y$ .

Pour finir, on note bien sûr

$$\circ: Z^Y \times Y^X \rightarrow Z^X$$

la flèche naturelle de composition induite par la structure cartésienne fermée décrite ci-dessus.

TODO : catégorie  $\hat{\mathbf{C}}$  possède une structure cartésienne fermée  $\longrightarrow$  en particulier valable pour  $\mathbf{sEns}$ .

## 1.4 Squelettes et cosquelettes

**Définition 1.24.** Soit  $X$  un ensemble simplicial. Si  $n$  est un entier naturel, le  $n$ -squelette de  $X$  est le sous-ensemble simplicial

$$\mathrm{sq}_n(X) \subseteq X$$

dont les simplexes sont les simplexes  $\Delta^m \rightarrow X$  de  $X$  qui factorisent par  $\Delta^n$ .

*Justification*

Si  $\sigma: \Delta^m \rightarrow X$  est un  $m$ -simplexe de  $X$ , alors le  $\ell$ -simplexe  $\alpha^*\sigma$  obtenu en tirant  $\sigma$  en arrière par une flèche  $\alpha: [\ell] \rightarrow [m]$  n'est autre que la composée

$$\Delta^\ell \xrightarrow{\alpha^*} \Delta^m \xrightarrow{\sigma} X$$

Ainsi  $\alpha^*\sigma$  factorise par  $\Delta^n$  dès que c'est le cas de  $\sigma$ , et  $\mathrm{sq}_n(X)$  définit bien un sous-ensemble simplicial de  $X$ .

**1.25. Filtration squelettique** — Si  $n$  est un entier naturel, la formation du  $n$ -squelette donne manifestement naissance à un foncteur

$$\mathrm{sq}_n: \mathbf{sEns} \rightarrow \mathbf{sEns}^{\leq n}$$

On notera également  $\mathrm{sq}_n$  l'endofoncteur de  $\mathbf{sEns}$  induit. Ce dernier est muni d'une inclusion naturelle  $\mathrm{sq}_n \subseteq \mathrm{id}_{\mathbf{sEns}}$  factorisant par  $\mathrm{sq}_{n+1}$ .

Les squelettes donnent ainsi lieu à une chaîne d'inclusions naturelles

$$\mathrm{sq}_0 \subseteq \mathrm{sq}_1 \subseteq \cdots \subseteq \mathrm{sq}_n \subseteq \cdots \subseteq \mathrm{id}_{\mathbf{sEns}}$$

Remarquons de plus que si  $m \leq n$ , alors on a l'égalité  $\mathrm{ev}_m \circ \mathrm{sq}_n = \mathrm{ev}_m$ . Une autre façon de le dire est que la formation du  $n$ -squelette ne touche pas aux  $m$ -simplexes. On en déduit que la famille de foncteurs  $(\mathrm{sq}_n)_n$  fournit une *filtration* fonctorielle de chaque ensemble simplicial, appelée *filtration squelettique*.

**Proposition 1.26.** Soit  $n$  un entier naturel. Si  $X$  et  $Y$  sont deux ensembles simpliciaux et si  $\dim X \leq n$ , alors l'inclusion  $\mathrm{sq}_n(Y) \subseteq Y$  induit une bijection

$$\mathrm{Hom}_{\mathbf{sEns}}(X, \mathrm{sq}_n(Y)) \simeq \mathrm{Hom}_{\mathbf{sEns}}(X, Y)$$

naturelle en  $X$  et en  $Y$ .

La famille de ces bijections fournit une adjonction entre les foncteurs  $\mathbf{sEns}^{\leq n} \subset \mathbf{sEns}$  et  $\mathrm{sq}_n$  d'unité  $\mathrm{sq}_n \subseteq \mathrm{id}_{\mathbf{sEns}}$ .



*Remarque 1.27.* Bien que les deux catégories soient complètes, les limites dans  $\mathbf{sEns}$  et  $\mathbf{sEns}^{\leq n}$  ne coïncident pas en général. En effet le produit dans  $\mathbf{sEns}^{\leq n}$  de  $X$  et  $Y$  est  $\mathrm{sq}_n(X \times Y)$ , qui n'est pas isomorphe à  $X \times Y$  dès que  $\dim X + \dim Y > n$  d'après le corollaire 1.17.

**Proposition 1.28.** *Soit  $i: K \hookrightarrow L$  un monomorphisme entre ensemble simpliciaux. Si  $n$  est un entier naturel, alors on a un carré cocartésien*

$$\begin{array}{ccc} \coprod_{L_n^{\mathrm{nd}} \setminus K_n} \partial \Delta^n & \longrightarrow & \coprod_{L_n^{\mathrm{nd}} \setminus K_n} \Delta^n \\ \downarrow & & \downarrow \\ K \cup \mathrm{sq}_{n-1}(L) & \longrightarrow & K \cup \mathrm{sq}_n(L) \end{array}$$

en utilisant la notation introduite en C.13 et avec la convention  $\mathrm{sq}_{-1}(L) := \emptyset$ .

*Démonstration*

TODO : supposer que  $i$  est une inclusion pour pas avoir à gérer des pushouts de pullbacks  
 TODO : je suis pas sûr du  $L/i(K)$ .

**Corollaire 1.29.** *APPLIQUER AVEC  $K = \emptyset$ .*

**Corollaire 1.30.** *La famille  $(\partial \Delta^n \subset \Delta^n)_{n \in \mathbb{N}}$  fournit un modèle cellulaire pour  $\mathbf{sEns}$ .*

*Démonstration*

UTILISER LA PROP D'AVANT et la factorisation de  $i$  par la chaîne

$$K \longrightarrow K \cup \mathrm{sq}_0(L) \longrightarrow K \cup \mathrm{sq}_1(L) \longrightarrow \cdots \longrightarrow K \cup \mathrm{sq}_n(L) \longrightarrow \cdots$$

**Proposition 1.31.** *Le foncteur  $\mathrm{sq}_n: \mathbf{sEns} \rightarrow \mathbf{sEns}$  commute aux colimites pour tout  $n$ .*

*Démonstration*

Soit  $n$  un entier naturel. La composée suivante

$$\mathbf{sEns} \xrightarrow{\mathrm{sq}_n} \mathbf{sEns}^{\leq n} \xrightarrow{\simeq} \mathrm{Fon}((\Delta^{\leq n})^{\mathrm{op}}, \mathbf{Ens})$$

n'est autre que la restriction induite par l'inclusion  $\Delta^{\leq n} \subset \Delta$ , et commute par conséquent aux (co)limites. C'est donc aussi le cas du foncteur  $\mathrm{sq}_n: \mathbf{sEns} \rightarrow \mathbf{sEns}^{\leq n}$ , or l'inclusion  $\mathbf{sEns}^{\leq n} \subset \mathbf{sEns}$  préserve les colimites d'après la proposition 1.26.

**1.32.** *Cosquelette d'un ensemble simplicial* — Si  $n$  est un entier naturel, le foncteur

$$\mathrm{cosq}_n: \mathbf{sEns} \rightarrow \mathbf{sEns}$$

défini pour tout préfaisceau  $X$  et tout  $m$  par

$$\mathrm{cosq}_n(X)_m := \mathrm{Hom}_{\mathbf{sEns}}(\mathrm{sq}_n(\Delta^m), X)$$

est canoniquement adjoint à droite à  $\text{sq}_n : \mathbf{sEns} \rightarrow \mathbf{sEns}$  en vertu des propositions 1.21 et 1.31.

Si  $X$  est un ensemble simplicial, le  *$n$ -cosquelette* de  $X$  est l'ensemble simplicial  $\text{cosq}_n(X)$ . L'inclusion  $\text{sq}_n(X) \subseteq X$  transpose par adjonction en une flèche naturelle  $X \rightarrow \text{cosq}_n(X)$ . On dit que  $X$  est  *$n$ -tronqué* si cette flèche est un isomorphisme.

**Proposition 1.33.** *Soit  $n$  un entier naturel. Un ensemble simplicial  $X$  est  $n$ -tronqué si et seulement si les inclusions  $\partial\Delta^m \subset \Delta^m$  induisent par restriction des bijections*

$$\text{Hom}_{\mathbf{sEns}}(\Delta^m, X) \simeq \text{Hom}_{\mathbf{sEns}}(\partial\Delta^m, X)$$

pour tout  $m \geq n$ .

*Démonstration*

TODO : je ne sais pas si c'est vrai mais je pense  $\rightarrow$  lien avec les types d'homotopie tronqués  $\rightarrow$  que dire du cosquelette d'un complexe de Kan ?

## 1.5 Réalisation géométrique

**Proposition 1.34.** *TODO : un foncteur  $\mathbf{sEns} \rightarrow D$  qui préserve les colimites, c'est essentiellement la même chose qu'un objet cosimplicial de  $D$ . (en fait, version générale avec catégorie de préfaisceaux)*

TODO : la proposition appliquée au simplexe géométrique

$$\Delta_{\text{Top}}^\bullet : \Delta \rightarrow \text{Top}$$

fournit le foncteur de *réalisation géométrique*, qui commute par construction aux colimites.

Il possède un adjoint à droite par la proposition 1.21, donné par la formule

$$\text{Sing}(X)_n := \text{Hom}_{\text{Top}}(\Delta_{\text{Top}}^n, X)$$

pour tout espace topologique  $X$ , en vertu de l'homéomorphisme naturel  $|\Delta^\bullet| \simeq \Delta_{\text{Top}}^\bullet$  (remplacer  $\text{abs}$  par une autre macro).

## 1.6 Catégorie d'homotopie

On peut sûrement faire pareil que la section sur la réalisation géométrique, en utilisant cette fois l'objet cosimplicial

$$[n] \in \Delta \mapsto [n] \in \mathbf{Cat}$$

pour obtenir l'adjonction entre  $h$  et  $N$ .

Le reste de la section consiste alors à décrire  $h$  plus simplement

## CHAPITRE 2

---

### CONSTRUCTIONS JOIN ET SLICE

#### 2.1 Joins

OUI



Deuxième partie

$\infty$ -catégories stables



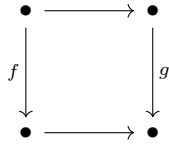
ANNEXE A

---

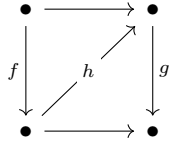
CATÉGORIES DE MODÈLES

### 1.1 Problèmes de relèvement

**Définition A.1.** Soit  $\mathbf{C}$  une catégorie. Un **problème de relèvement** entre deux morphismes  $f$  et  $g$  de  $\mathbf{C}$  est un diagramme commutatif



Une **solution** est un morphisme  $h$  faisant commuter



S'il en existe, on dit que  $f$  possède la **propriété de relèvement à gauche** relativement à  $g$  ou encore que  $g$  possède la **propriété de relèvement à droite** relativement à  $f$ , et on note  $f \sqsubset g$ .

Si  $I$  est une classe<sup>1</sup> de morphismes de  $\mathbf{C}$ , alors on note  $I^\sqsupset$  et  $I_\sqsubset$  les classes de morphismes ayant la propriété de relèvement respectivement à droite ou à gauche relativement à toutes les flèches de  $I$ .

*Remarque A.2.* Si  $I$  est une classe de morphismes d'une certaine catégorie  $\mathbf{C}$ , alors  $I^\sqsupset$  et  $I_\sqsubset$  contiennent les isomorphismes et sont stables par composition.

*Remarque A.3.* Si  $I$  est une classe de morphismes d'une catégorie, alors l'inclusion  $I \subseteq (I^\sqsupset)_\sqsubset$  montre que  $((I^\sqsupset)_\sqsubset)^\sqsupset \subseteq I^\sqsupset$ , d'où l'identité

$$((I^\sqsupset)_\sqsubset)^\sqsupset = I^\sqsupset$$

De même  $((I_\sqsubset)^\sqsupset)_\sqsubset = I_\sqsubset$ .

*Remarque A.4.* Les problèmes de relèvement entre deux morphismes  $f$  et  $g$  de  $\mathbf{C}$  et leurs solutions sont tautologiquement en bijection avec les problèmes de relèvement entre  $g$  et  $f$  dans  $\mathbf{C}^{\text{op}}$  et leurs solutions. En particulier  $f \sqsubset g$  dans  $\mathbf{C}$  si et seulement si  $g \sqsupset f$  dans  $\mathbf{C}^{\text{op}}$ .

C'est ce fait que l'on utilise implicitement pour dualiser les propriétés de stabilité des classes  $I^\sqsupset$  aux classes  $I_\sqsubset$ .

**Proposition A.5.** Soient  $\mathbf{C}$  une catégorie et  $I$  une classe de morphismes de  $\mathbf{C}$ . La classe  $I^\sqsupset$  est stable par produits et produits fibrés, tandis que  $I_\sqsubset$  est stable par sommes et sommes amalgamées.

---

1. Si  $\mathcal{U}$  désigne l'univers ambiant, alors on appelle *classe* (resp. *ensemble*) les parties (resp. éléments) de  $\mathcal{U}$ .

*Démonstration*

Fixons un produit fibré dans  $\mathcal{C}$ , décrit par le diagramme

$$\begin{array}{ccc} e & \xrightarrow{q} & y \\ \downarrow & \lrcorner & \downarrow \\ x & \xrightarrow{f} & z \end{array}$$

Il s'agit de montrer que  $q$  appartient à  $I^\square$  si c'est le cas de  $f$ .

On se donne à cette fin un morphisme  $u: a \rightarrow b$  de  $I$  tel que  $u \sqsubset f$ , ainsi qu'un problème de relèvement

$$\begin{array}{ccc} a & \xrightarrow{\quad} & e \\ u \downarrow & \nearrow & \downarrow q \\ b & \xrightarrow{\quad} & y \end{array}$$

Par hypothèse, il existe un morphisme  $b \rightarrow x$  faisant commuter le diagramme en trait plein

$$\begin{array}{ccccc} a & \xrightarrow{\quad} & e & \xrightarrow{\quad} & x \\ u \downarrow & \nearrow & \downarrow & \nearrow & \downarrow f \\ b & \xrightarrow{\quad} & y & \xrightarrow{\quad} & z \end{array}$$

et la propriété universelle de  $e$  fournit la flèche  $b \rightarrow e$  pointillée. Pour montrer que le diagramme obtenu commute encore, il s'agit de vérifier que c'est le cas du triangle de sommets  $a, b$  et  $e$ . C'est bien le cas, car les deux chemins  $a \rightarrow e$  en jeu proviennent du même cône au-dessus du diagramme  $x \rightarrow z \leftarrow y$ . Finalement  $u \sqsubset q$ , et  $I^\square$  est stable par formation de produits fibrés. La stabilité par produits est évidente.

Par conséquent  $I_\square$  est stable par produits et produits fibrés lorsque vu comme ensemble de morphismes de  $\mathcal{C}^{\text{op}}$ , donc par sommes et sommes amalgamées dans  $\mathcal{C}$ .

**Définition A.6.** Si  $x$  est un objet dans une catégorie  $\mathcal{C}$ , alors un objet  $a \in \mathcal{C}$  est un **rétract** de  $x$  s'il existe des morphismes

$$i: a \rightarrow x \quad \text{et} \quad r: x \rightarrow a$$

tels que  $ri = \text{id}_a$ .

Cette définition appliquée à la catégorie<sup>2</sup>  $\text{Mor}(\mathcal{C})$  donne un sens à la relation « être rétract de » entre flèches de  $\mathcal{C}$ .

*Remarque A.7.* Si  $a$  est un rétract de  $x$  dans  $\mathcal{C}$ , alors c'est également le cas dans  $\mathcal{C}^{\text{op}}$ .

*Remarque A.8.* Soit  $F: \mathcal{C} \rightarrow \mathcal{D}$  un foncteur. Si  $a$  est un rétract de  $x$  dans  $\mathcal{C}$ , alors  $F(a)$  est un rétract de  $F(x)$  dans  $\mathcal{D}$ .

En appliquant ceci aux foncteurs  $\text{Mor}(\mathcal{C}) \rightarrow \mathcal{C}$  qui associent à un morphisme respectivement sa source et son but, on retrouve que si un morphisme  $u: a \rightarrow b$  est rétract de  $f: x \rightarrow y$ , alors  $a$  et  $b$  sont en particulier rétracts de  $x$  et  $y$ .

L'introduction de cette notion est motivée par le résultat suivant :

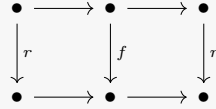
2. Les objets de la catégorie  $\text{Mor}(\mathcal{C}) := \text{Fon}([1], \mathcal{C})$  sont les morphismes de  $\mathcal{C}$ , et les morphismes sont les carrés commutatifs.



**Proposition A.9.** *Si  $I$  est une classe de morphismes dans une catégorie  $\mathbf{C}$ , alors  $I^\square$  et  $I_\square$  sont stables par rétract.*

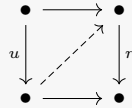
*Démonstration*

Étant donné un rétract  $r$  d'une flèche  $f$  de  $\mathbf{C}$ , donné par le diagramme

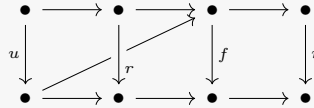


où les composées horizontales sont des identités.

Si  $u$  est un morphisme ayant la propriété de relèvement à gauche relativement à  $f$ , alors tout problème de relèvement



possède une solution, en vertu du diagramme



où la flèche oblique existe par hypothèse sur  $u$ . En particulier  $I^\square$  est stable par rétract.

Dualement  $I_\square$  est stable par rétract dans  $\mathbf{C}^{\text{op}}$ , or l'identification tautologique

$$\text{Mor}(\mathbf{C}^{\text{op}}) \simeq \text{Mor}(\mathbf{C})^{\text{op}}$$

montre que la relation « être rétract de » entre morphismes est identique dans  $\mathbf{C}$  et  $\mathbf{C}^{\text{op}}$ .

La dernière propriété de stabilité que l'on énoncera nécessite une notion de composition étendue aux chaînes et tours transfinies.

**Définition A.10.** Soient  $\mathbf{C}$  une catégorie et  $\alpha$  un ordinal.

- 1) Une **chaîne transfinie** indexée par  $\alpha$  dans une catégorie  $\mathbf{C}$  est la donnée d'un diagramme

$$X: \alpha \rightarrow \mathbf{C}$$

cocontinu, ce qui revient à demander

$$X(\beta) \simeq \text{colim } X|_\beta$$

pour tout ordinal limite  $\beta < \alpha$ .

Si  $I$  désigne un ensemble de morphismes de  $\mathbf{C}$ , alors on dit que  $X$  est une chaîne de morphismes de  $I$  si la flèche  $X(\beta) \rightarrow X(\beta + 1)$  appartient à  $I$  pour tout ordinal  $\beta$  tel que  $\beta + 1 < \alpha$ .

- 2) Une **tour transfinie** de  $\mathbf{C}$  indexée par  $\alpha$  est une  $\alpha$ -chaîne de  $\mathbf{C}^{\text{op}}$ , autrement dit un diagramme  $\alpha^{\text{op}} \rightarrow \mathbf{C}$  continu.

**A.11. Composition transfinie** — Soit  $\mathbf{C}$  une catégorie et  $\alpha$  un ordinal non nul. Une chaîne transfinie  $X: \alpha \rightarrow \mathbf{C}$  de  $\mathbf{C}$  se *compose* si elle se prolonge en une chaîne transfinie

$$\bar{X}: \alpha + 1 \rightarrow \mathbf{C}$$

réalisant<sup>3</sup> un cocône colimite de  $X$ . On dit que le morphisme

$$X(0) \rightarrow \bar{X}(\alpha)$$

est une **composée transfinie** de  $X$ . Par unicité des colimites, deux éventuelles composées transfinies de  $X$  sont isomorphes dans la catégorie slice de  $\mathbf{C}$  au-dessus de  $X(0)$ .

La composée d'une tour de  $\mathbf{C}$  est, si elle existe, sa composée en tant que chaîne de  $\mathbf{C}^{\text{op}}$ .

**Proposition A.12.** *Si  $\alpha$  est un ordinal, alors une  $(\alpha + 1)$ -chaîne*

$$X: \alpha + 1 \rightarrow \mathbf{C}$$

*se compose toujours, et une composée est donnée par le morphisme  $X(0) \rightarrow X(\alpha)$ .*

*Démonstration*

Les ordinaux  $\alpha + 1$  et  $\alpha + 2$  contiennent les mêmes ordinaux limites, donc  $X$  se prolonge en une  $(\alpha + 2)$ -chaîne en posant simplement

$$X(\alpha + 1) := X(\alpha)$$

et en envoyant l'unique flèche  $\alpha \rightarrow \alpha + 1$  sur  $\text{id}_{X(\alpha)}$ . Le cocône obtenu est bien colimite, car  $\alpha$  est maximal dans  $\alpha + 1$ .

**Remarque A.13.** Un corollaire de la proposition A.12 est qu'une chaîne finie  $X: n + 1 \rightarrow \mathbf{C}$  se compose toujours et qu'une composée est donnée par la composée classique

$$X(0) \longrightarrow X(1) \longrightarrow \cdots \longrightarrow X(n)$$

dans  $\mathbf{C}$ , ce qui justifie la terminologie. Dans le cas  $n = 0$ , notons que l'on obtient bien l'identité.

Dualement, la composée d'une tour finie  $X: (n + 1)^{\text{op}} \rightarrow \mathbf{C}$  existe nécessairement et est donnée par exemple par le morphisme

$$X(0) \longleftarrow X(1) \longleftarrow \cdots \longleftarrow X(n)$$

de  $\mathbf{C}$ .

**Proposition A.14.** *Si  $I$  est une classe de morphismes d'une catégorie  $\mathbf{C}$ , alors les classes  $I^{\square}$  et  $I_{\square}$  sont stables par composition transfinie de tours et de chaînes respectivement.*

*Démonstration*

Montrons que, lorsqu'elle existe, la composée transfinie d'une tour de  $\mathbf{C}$  composée de morphismes de  $I^{\square}$  et indexée par  $\alpha$  appartient encore à  $I^{\square}$  pour tout ordinal non nul  $\alpha$ . On raisonne par récurrence sur  $\alpha$  :

— la classe  $I^{\square}$  contient les isomorphismes, d'où le cas  $\alpha = 1$

3. Cette condition est redondante lorsque l'ordinal  $\alpha$  est limite.

- supposons la propriété vraie pour tout ordinal strictement inférieur à un ordinal  $\alpha$  non nul, et fixons une  $\alpha$ -tour composable

$$X: \alpha^{\text{op}} \rightarrow \mathbf{C}$$

de morphismes de  $I^{\square}$ , de composée  $X(\alpha) \rightarrow X(0)$ .

J'affirme que les morphismes  $X(\beta) \rightarrow X(0)$  avec  $\beta < \alpha$  sont tous dans  $I^{\square}$ . En effet :

- c'est vrai par hypothèse de récurrence lorsque  $\beta$  est limite
- si  $\beta$  est successeur, on peut écrire  $\beta = \gamma + n$  où  $\gamma$  est un ordinal limite et  $n$  un entier naturel, et alors la flèche  $X(\beta) \rightarrow X(0)$  appartient à  $I^{\square}$  car obtenue par composition de flèches de  $I^{\square}$ .

Étant maintenant donné un morphisme  $u: a \rightarrow b$  de  $I$  et un problème de relèvement

$$\begin{array}{ccc} a & \longrightarrow & X(\alpha) \\ \downarrow u & \nearrow & \downarrow \\ b & \longrightarrow & X(0) \end{array}$$

on construit un cône  $b \rightarrow X$  faisant commuter

$$\begin{array}{ccc} a & \longrightarrow & X(\beta) \\ \downarrow u & \nearrow & \downarrow \\ b & \longrightarrow & X(0) \end{array}$$

pour tout  $\beta < \alpha$  par récurrence ordinale, et la propriété universelle de  $X(\alpha)$  fournit alors une solution.

Les tours de  $\mathbf{C}^{\text{op}}$  sont les chaînes de  $\mathbf{C}$ , d'où l'énoncé dual pour  $I_{\square}$ .

## 1.2 Systèmes de factorisation faibles

**Définition A.15.** Soit  $\mathbf{C}$  une catégorie. Un couple  $(A, B)$  de classes de morphismes de  $\mathbf{C}$  satisfaisant aux axiomes

- (i) tout morphisme de  $f$  de  $\mathbf{C}$  peut s'écrire  $f = ba$  avec  $a \in A$  et  $b \in B$
- (ii) les morphismes de  $A$  ont la propriété de relèvement à gauche relativement à ceux de  $B$ , autrement dit  $A \square B$
- (iii) les ensembles  $A$  et  $B$  sont stables par rétracts

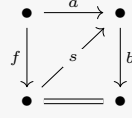
forme ce que l'on appelle un **système de factorisation faible** de  $\mathbf{C}$ .

*Remarque A.16.* Un couple  $(A, B)$  de morphismes d'une catégorie  $\mathbf{C}$  est un système de factorisation faible pour  $\mathbf{C}$  si et seulement si  $(B, A)$  en est un pour  $\mathbf{C}^{\text{op}}$ .

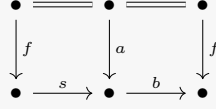
**Proposition A.17.** Si  $(A, B)$  est un système de factorisation faible alors  $A = B_{\square}$  et  $B = A^{\square}$ .

*Démonstration*

Si  $f$  est une flèche de  $B_{\square}$ , alors il existe  $a \in A$  et  $b \in B$  tels que  $f = ba$  et  $s$  faisant commuter



Le diagramme



montre alors que  $f$  est un rétract de  $a$ , d'où  $A \subseteq B_{\square}$ . L'inclusion réciproque étant évidente, cela conclut la preuve de l'affirmation  $A = B_{\square}$ .

L'autre assertion est duale à la première.

**Définition A.18.** Une **factorisation fonctorielle** sur une catégorie  $\mathbf{C}$  est une section

$$\Phi: \text{Mor}(\mathbf{C}) \rightarrow \text{Fon}([2], \mathbf{C})$$

du foncteur  $d_1: \text{Fon}([2], \mathbf{C}) \rightarrow \text{Mor}(\mathbf{C})$  de composition, autrement dit

$$f = B_{\Phi}(f) \circ A_{\Phi}(f)$$

pour tout morphisme  $f$ , où  $A_{\Phi}$  et  $B_{\Phi}$  sont les endofoncteurs de  $\text{Mor}(\mathbf{C})$  définis respectivement comme  $A_{\Phi} := d_2\Phi$  et  $B_{\Phi} := d_0\Phi$ .

On dit alors que  $\Phi$  est *compatible* à un système de factorisation faible  $(A, B)$  lorsque  $A_{\Phi}$  et  $B_{\Phi}$  sont à valeurs dans  $A$  et dans  $B$  respectivement.

**Exemple A.19.** Les classes de fonctions  $I$  et  $S$  désignant respectivement les inclusions et les surjections de  $\mathbf{Ens}$  sont manifestement stables par rétracts, et l'axiome du choix permet d'obtenir  $I \sqsupseteq S$ . De plus, toute fonction ensembliste  $X \rightarrow Y$  factorise fonctoriellement

$$X \hookrightarrow X \amalg Y \twoheadrightarrow Y$$

Finalement  $(I, S)$  est un système de factorisation faible sur  $\mathbf{Ens}$  muni de factorisations fonctorielles.

**Définition A.20.** Soient  $\mathbf{C}$  une catégorie et  $I$  une classe de morphismes de  $\mathbf{C}$ .

- 1) On dit qu'un morphisme  $f: x \rightarrow y$  de  $\mathbf{C}$  est un **recollement de  $I$ -cellules** s'il existe une petite famille  $(u_{\omega}: a_{\omega} \rightarrow b_{\omega})_{\omega}$  de flèches de  $I$  telle que les coproduits

$$\coprod_{\omega} a_{\omega} \quad \text{et} \quad \coprod_{\omega} b_{\omega}$$

existent dans  $\mathbf{C}$ , et un diagramme cocartésien

$$\begin{array}{ccc} \coprod a_{\omega} & \xrightarrow{\coprod u_{\omega}} & \coprod b_{\omega} \\ \downarrow & & \downarrow \\ x & \xrightarrow{f} & y \end{array} \quad \sqsupset$$

- 2) Un **complexe  $I$ -cellulaire relatif** est une flèche  $x \rightarrow y$  de  $\mathbf{C}$  représentant la composée transfinie d'une chaîne de recollement de  $I$ -cellules.

On note  $\text{cell}(I)$  l'ensemble des complexes  $I$ -cellulaires relatifs.

**Exemple A.21.** TODO : dans  $\mathbf{Top}$ , les CW-complexes relatifs sont des complexes cellulaires relatifs pour les cellules  $S^{n-1} \hookrightarrow D^n$ .

QUESTION : Est-ce que ce sont les seuls ???

**Définition A.22.** Soit  $\kappa$  un cardinal.

- 1) Un ensemble  $I$  est dit  **$\kappa$ -dirigé** si toute partie de  $I$  de cardinalité strictement inférieure à  $\kappa$  possède une borne supérieure.
- 2) Une catégorie  $\mathbf{C}$  possède les **colimites  $\kappa$ -dirigées** si chaque diagramme  $I \rightarrow \mathbf{C}$  issu d'un ensemble  $\kappa$ -dirigé admet une colimite dans  $\mathbf{C}$ .  
Si tel est le cas, on dit qu'un objet  $x$  de  $\mathbf{C}$  est  **$\kappa$ -compact** si la flèche canonique

$$\text{colim}_I \text{Hom}_{\mathbf{C}}(x, F(-)) \rightarrow \text{Hom}_{\mathbf{C}}(x, \text{colim}_I F)$$

est bijective pour tout petit ensemble  $\kappa$ -dirigé  $I$  et tout diagramme  $F: I \rightarrow \mathbf{C}$ .

- 3) Si  $\mathbf{C}$  est une catégorie cocomplète, un objet  $x$  de  $\mathbf{C}$  est dit **petit** s'il est  $\kappa$ -compact pour un certain cardinal régulier  $\kappa$ .

*Remarque A.23.* Si  $\text{cof } \kappa < \kappa$  et si  $I$  est un ensemble ordonné  $\kappa$ -dirigé, alors  $I$  est également  $\kappa^+$ -dirigé, où  $\kappa^+$  désigne le cardinal successeur de  $\kappa$ .

On peut donc se restreindre au cas  $\text{cof } \kappa = \kappa$  dans les définitions qui précèdent, autrement dit supposer le cardinal  $\kappa$  **régulier**. C'est ce que l'on fera dans la suite. L'avantage est alors que l'ensemble  $\kappa$  est lui-même  $\kappa$ -dirigé.

*Remarque A.24.* Si  $\kappa \leq \lambda$  sont deux cardinaux réguliers et si  $\mathbf{C}$  est une catégorie possédant les colimites  $\kappa$ -dirigées, alors tout objet  $\kappa$ -compact de  $\mathbf{C}$  est en particulier  $\lambda$ -compact.

Le résultat suivant est appelé *argument du petit objet* dans la littérature.

**Proposition A.25.** Si  $\mathbf{C}$  est une catégorie cocomplète et  $I$  un ensemble de morphismes de  $\mathbf{C}$  dont les sources sont petites, alors il existe une factorisation fonctorielle

$$\Phi: \text{Mor}(\mathbf{C}) \rightarrow \text{Fon}([2], \mathbf{C})$$

sur  $\mathbf{C}$  telle que les foncteurs  $A_\Phi$  et  $B_\Phi$  sont à valeurs respectivement dans  $\text{cell}(I)$  et  $I^\square$ .

*Démonstration*

Il existe pour tout  $u \in I$  un cardinal régulier  $\kappa_u$  pour lequel la source de  $u$  est  $\kappa_u$ -compacte. En particulier les sources de  $I$  sont toutes  $\kappa$ -compactes pour le cardinal

$$\kappa := \text{card} \bigcup_{u \in I} \kappa_u$$

et on peut supposer  $\kappa$  régulier quitte à le prendre plus grand.

On construit alors par récurrence ordinale une chaîne

$$X_f: \kappa + 2 \rightarrow \mathbf{C}$$

pour tout morphisme  $f: x \rightarrow y$ .

- on pose  $X_f(0) := x$  et  $X_f(\kappa + 1) := y$ , la flèche  $X_f(0) \rightarrow X_f(\kappa + 1)$  étant  $f$
- ayant construit la restriction de  $X_f$  à  $\{\beta \mid \beta \leq \alpha\} \cup \{\kappa + 1\}$ , on définit un objet  $X_f(\alpha + 1)$  de  $\mathbf{C}$  comme étant la somme amalgamée

$$\begin{array}{ccc} \coprod_{u \in I} \coprod_{\text{Hom}_{\text{Mor}(\mathbf{C})}(u, f_\alpha)} a_u & \xrightarrow{\coprod_u \coprod u} & \coprod_{u \in I} \coprod_{\text{Hom}_{\text{Mor}(\mathbf{C})}(u, f_\alpha)} b_u \\ \downarrow & & \downarrow \\ X_f(\alpha) & \xrightarrow{\quad \quad \quad \Gamma \quad \quad \quad} & X_f(\alpha + 1) \end{array}$$

en notant  $u: a_u \rightarrow b_u$  pour tout  $u \in I$  et  $f_\alpha$  le morphisme  $X_f(\alpha) \rightarrow X_f(\kappa + 1) = y$ .  
Le morphisme  $f_\alpha$  factorise par construction

$$X_f(\alpha) \longrightarrow X_f(\alpha + 1) \xrightarrow{f_{\alpha+1}} y$$

ce qui permet de prolonger  $X_f$  à  $\alpha + 1$ .

- ayant défini  $X_f$  sur  $\{\beta \mid \beta < \alpha\} \cup \{\kappa + 1\}$  où  $\alpha$  est un ordinal limite, on pose

$$X_f(\alpha) := \text{colim}_{\beta < \alpha} X_f(\beta)$$

et  $f_\alpha: X_f(\alpha) \rightarrow y$  est la flèche obtenue par propriété universelle à partir des  $f_\beta$ .

Une nouvelle récurrence ordinale permet de montrer que cette construction est *naturelle* en  $f$ , autrement dit que la formule  $f \mapsto X_f$  définit un foncteur  $X: \text{Mor}(\mathbf{C}) \rightarrow \text{Fon}(\kappa + 2, \mathbf{C})$ .

La chaîne  $[2] \simeq 3 \rightarrow \kappa + 2$  représentée par

$$0 \longrightarrow \kappa \longrightarrow \kappa + 1$$

fournit par précomposition de  $X$  une factorisation naturelle de tout morphisme  $f: x \rightarrow y$  comme

$$x \longrightarrow X_f(\kappa) \xrightarrow{f_\kappa} y$$

et la première flèche est un  $I$ -complexe relatif, en tant que composée de la chaîne restreinte  $(X_f)|_\kappa$ .

Il s'agit pour conclure de montrer que  $f_\kappa$  possède la propriété de relèvement à droite relativement aux flèches de  $I$ . Étant donnée une flèche  $u$  de  $I$  et un problème de relèvement

$$\begin{array}{ccc} a & \longrightarrow & X_f(\kappa) \\ u \downarrow & \nearrow & \downarrow f_\kappa \\ b & \longrightarrow & y \end{array}$$

il existe un ordinal  $\alpha < \kappa$  tel que le morphisme  $a \rightarrow X_f(\kappa)$  factorise

$$a \longrightarrow X_f(\alpha) \longrightarrow X_f(\kappa)$$

par  $\kappa$ -compacité de  $a$ , d'où un diagramme commutatif

$$\begin{array}{ccccc} a & \longrightarrow & X_f(\alpha) & \longrightarrow & X_f(\kappa) \\ u \downarrow & & \searrow f_\alpha & & \downarrow f_\kappa \\ b & \longrightarrow & & \longrightarrow & y \end{array}$$

Mais alors le morphisme  $b \rightarrow y$  factorise par la flèche structurale  $b \rightarrow X_f(\alpha + 1)$  indexée par le morphisme  $u \rightarrow f_\alpha$  de  $\text{Mor}(\mathbf{C})$  représenté par le cycle trapézoïdal, et le diagramme

$$\begin{array}{ccccc} a & \longrightarrow & X_f(\alpha) & \longrightarrow & X_f(\kappa) \\ \downarrow u & & \downarrow & & \downarrow f_\kappa \\ b & \longrightarrow & X_f(\alpha + 1) & \xrightarrow{f_{\alpha+1}} & y \end{array}$$

commute. Le rectangle extérieur est le problème initial, et la composée

$$b \longrightarrow X_f(\alpha + 1) \longrightarrow X_f(\kappa)$$

fournit un relèvement.

Pour conclure, on déduit de l'inclusion  $I \subseteq (I^\square)_\square$  que  $\text{cell}(I) \subseteq (I^\square)_\square$  en vertu des propositions A.5 et A.14. Les ensembles  $(I^\square)_\square$  et  $I^\square$  sont stables par rétracts d'après la proposition A.9.

**A.26. Engendrement cofibrant** — Si  $\mathbf{C}$  est une catégorie cocomplète et  $I$  un ensemble de morphismes de  $\mathbf{C}$  vérifiant les hypothèses de la proposition A.25, alors  $((I^\square)_\square, I^\square)$  est un système de factorisation faible admettant des factorisations fonctérielles. C'est une conséquence de l'inclusion

$$\text{cell}(I) \subseteq (I^\square)_\square$$

obtenue à partir de  $I \subseteq (I^\square)_\square$  en appliquant les propositions A.5 et A.14.

Un système de factorisation faible pouvant être construit de cette façon (resp. de façon duale) est dit **à engendrement cofibrant** (resp. **à engendrement fibrant**).

### 1.3 Catégories de modèles

**Définition A.27.** TODO





## THÉORIE DE L'HOMOTOPIE ABSTRAITE

## 2.1 Catégories homotopiques

## Définition B.1.

- 1) Une **catégorie homotopique** est la donnée d'une catégorie  $\mathcal{C}$  et d'un ensemble  $\mathcal{W}$  de morphismes de  $\mathcal{C}$  contenant les identités et satisfaisant la propriété du *deux sur six* : étant donnés trois morphismes de  $\mathcal{C}$  composables :

$$\bullet \xrightarrow{f} \bullet \xrightarrow{g} \bullet \xrightarrow{h} \bullet$$

alors  $f$ ,  $g$ ,  $h$  et  $hgf$  appartiennent à  $\mathcal{W}$  dès que c'est le cas de  $gf$  et  $hg$ .

Les morphismes de  $\mathcal{W}$  sont appelés **équivalences faibles**.

- 2) Un foncteur  $\mathcal{C} \rightarrow \mathcal{D}$  entre deux catégories homotopiques est dit **homotopique** s'il envoie les équivalences faibles de  $\mathcal{C}$  sur des équivalences faibles de  $\mathcal{D}$ .

TODO : localisation  $\rightarrow$  catégorie d'homotopie d'une catégorie homotopique

TODO : montrer qu'un

## 2.2 Catégorie des objets fibrants

## 2.3 Homotopie dans une catégorie de modèles

TODO : cylindres, objet de chemins TODO :

$\rightarrow$  donner déf plus concrète de la catégorie d'homotopie



ANNEXE C

---

STRUCTURES DE CISINSKI

### 3.1 Petitesse dans les catégories de préfaisceaux

**Lemme C.1.** *Soit  $\mathcal{C}$  une petite catégorie. La flèche canonique*

*oui*

*induite par un diagramme commutatif de préfaisceaux sur  $\mathcal{C}$  de la forme*

$$\begin{array}{ccccc}
 X_0 & \longleftarrow & Z_0 & \longrightarrow & Y_0 \\
 \downarrow & & \downarrow & & \downarrow \\
 X & \longleftarrow & Z & \longrightarrow & Y \\
 \uparrow & & \uparrow & & \uparrow \\
 X_1 & \longleftarrow & Z_1 & \longrightarrow & Y_1
 \end{array}$$

*est un isomorphisme.*

**Proposition C.2.** *Soient  $\mathcal{C}$  et  $\mathcal{D}$  deux petites catégories, et*

$$F: \hat{\mathcal{C}} \rightarrow \hat{\mathcal{D}}$$

*un foncteur commutant aux colimites  $\kappa$ -dirigées pour un cardinal régulier  $\kappa$ . Alors il existe des cardinaux réguliers  $\lambda$  arbitrairement grands tels que  $F$  préserve les objets  $\lambda$ -compacts.*

*Démonstration*

On peut supposer  $\kappa \geq \text{card Mor}(\mathcal{C})$  quitte à changer  $\kappa$  en un cardinal régulier plus grand.

**Lemme C.3** (Cisinski). *Soient  $\mathcal{C}$  une petite catégorie,  $\Omega$  un ensemble de préfaisceaux sur  $\mathcal{C}$  et  $A$  une classe de monomorphismes de préfaisceaux tels que*

- (a) *la classe  $A$  est stable par sommes amalgamées et compositions transfinies*
- (b) *si  $u$  et  $vu$  sont dans  $A$  pour deux monomorphismes composables de préfaisceaux  $u$  et  $v$ , alors  $v$  appartient également à  $A$*
- (c) *pour tout préfaisceau  $X$  sur  $\mathcal{C}$ , la flèche canonique*

$$\text{colim}_{\substack{U \hookrightarrow X \\ U \in \Omega}} U \rightarrow X$$

*est un isomorphisme*

(d) pour tout monomorphisme  $K \hookrightarrow L$  de  $A$  et tout sous-objet  $U \hookrightarrow L$  appartenant à  $\Omega$ , il existe dans  $\Omega$  un préfaisceau  $V$  intermédiaire entre  $U$  et  $L$  tel que le tiré en arrière<sup>1</sup>

$$K \times_L V \hookrightarrow V$$

appartienne encore à  $A$ .

Si  $I$  désigne la sous-classe de  $A$  formée des flèches de but appartenant à  $\Omega$ , alors  $A = \text{cell}(I)$ .

#### Démonstration

Fixons  $i: K \hookrightarrow L$  un élément de  $A$ . L'axiome du choix garantit l'existence d'un ordinal  $\alpha$  et d'une bijection

$$\chi: \alpha \simeq \{ U \hookrightarrow L \mid U \in \Omega \}$$

Pour  $\beta < \alpha$ , on note  $U(\beta) \hookrightarrow L$  le sous-objet  $\chi(\beta)$  de  $L$ . Quitte à choisir  $\alpha$  plus grand, on peut supposer que l'ordinal  $\alpha$  est limite, en étendant  $\chi$  en envoyant le surplus sur le sous-objet  $\emptyset \hookrightarrow L$ . On perd le caractère bijectif de  $\chi$  mais on n'utilisera dans la suite que sa surjectivité.

On construit alors par récurrence une chaîne

$$K: \alpha + 2 \rightarrow \hat{\mathbf{C}}$$

de morphismes de  $A$ .

- on pose  $K(0) := K$  et  $K(\alpha + 1) := L$ , le morphisme  $K(0) \rightarrow K(\alpha + 1)$  étant  $i$
- supposons avoir construit  $K$  jusqu'à l'ordinal  $\beta < \alpha$  inclus, de sorte à ce que la flèche

$$j: K(\beta) \rightarrow K(\alpha + 1) = L$$

soit dans  $A$ . Il existe alors par hypothèse un préfaisceau  $V(\beta)$  de  $\Omega$  et une factorisation

$$U(\beta) \hookrightarrow V(\beta) \hookrightarrow L$$

de  $\chi(\beta)$ , tels que le monomorphisme  $K(\beta) \times_L V(\beta) \hookrightarrow V(\beta)$  obtenu en tirant  $j$  en arrière appartienne à  $A$ .

On construit  $K(\beta + 1)$  comme étant la somme amalgamée

$$\begin{array}{ccc} K(\beta) \times_L V(\beta) & \hookrightarrow & V(\beta) \\ \downarrow & \lrcorner & \downarrow \\ K(\beta) & \hookrightarrow & K(\beta + 1) \end{array}$$

où les flèches de but  $K(\beta + 1)$  sont des monomorphismes car obtenues par somme amalgamées de monomorphismes de préfaisceaux. La flèche  $K(\beta) \hookrightarrow K(\beta + 1)$  de  $A$  est obtenue par recollement d'une  $I$ -cellule, et permet de factoriser  $j$  comme

$$K(\beta) \hookrightarrow K(\beta + 1) \xrightarrow{k} L$$

et  $k$  est un monomorphisme car  $K(\beta)$  et  $V(\beta)$  sont des sous-objets de  $L$ . Nos hypothèses garantissent par conséquent que  $k$  est une flèche de  $A$ .

Remarquons aussi que  $K(\beta + 1)$  est un sous-objet de  $L$  qui contient  $K(\beta)$  et  $U(\beta)$ .

- si  $\beta \leq \alpha$  est un ordinal limite tel que  $K(\gamma)$  a été construit pour  $\gamma < \beta$ , alors on définit  $K(\beta)$  comme étant la composée de la restriction de  $K$  à  $\beta$ . La propriété universelle montre que  $i$  factorise

1. Cette flèche est bien un monomorphisme car le produit fibré est pris au-dessus de deux monomorphismes dans  $\hat{\mathbf{C}}$ , où les limites se calculent terme à terme dans  $\mathbf{Ens}$ .

$$K \hookrightarrow K(\beta) \xrightarrow{k} L$$

où le premier morphisme est dans  $A$  par hypothèse de stabilité. Remarquons que  $k$  est construit comme colimite filtrante de monomorphismes de préfaisceaux, donc est lui-même un monomorphisme. Il doit donc également appartenir à  $A$ .

On en tire en particulier une factorisation de  $i$

$$K \xrightarrow{j} K(\alpha) \xrightarrow{f} L$$

où  $j$  est dans  $A$ , et même dans  $\text{cell}(I)$  par construction.

Montrons que  $f$  est un isomorphisme. Tout sous-objet  $U \hookrightarrow L$  contenu dans  $\Omega$  factorise canoniquement

$$U \hookrightarrow K(\alpha) \hookrightarrow L$$

par surjectivité de  $\chi$ . En particulier si  $U \rightarrow V$  est un morphisme entre deux tels sous-objets, alors le diagramme

$$\begin{array}{ccccc} & & \text{---} & & \\ & \swarrow & & \searrow & \\ U & \xrightarrow{\quad} & K(\alpha) & \xleftarrow{\quad} & V \\ & \searrow & \downarrow f & \swarrow & \\ & & L & & \end{array}$$

commute. En effet c'est le cas des deux triangles inférieur et du cycle extérieur, et la commutativité du cycle supérieur découle alors de l'injectivité terme à terme de  $f$ . On en déduit une factorisation

$$\text{colim}_{\substack{U \hookrightarrow L \\ U \in \Omega}} U \longrightarrow K(\alpha) \xrightarrow{f} L$$

de la flèche canonique, qui est par hypothèse un isomorphisme. En particulier  $f$  est surjective terme à terme, donc est un isomorphisme de préfaisceaux.

Finalement  $i$ , tout comme  $j$ , est un représentant de la composée transfinie de la restriction de la chaîne  $K$  à  $\alpha$  et donc appartient à  $\text{cell}(I)$ . L'inclusion réciproque  $\text{cell}(I) \subseteq A$  est évidente.

**Corollaire C.4.** *Soit  $\mathcal{C}$  une petite catégorie. Si  $A$  est une classe de monomorphismes de préfaisceaux sur  $\mathcal{C}$  telle que*

- (a) *la classe  $A$  est stable par sommes amalgamées et compositions transfinies*
- (b) *si  $u$  et  $v$  sont des monomorphismes tels que  $u$  et  $vu$  sont dans  $A$ , alors  $v$  appartient également à  $A$*
- (c) *il existe des cardinaux réguliers  $\kappa$  arbitrairement grands tels que, pour tout monomorphisme  $K \hookrightarrow L$  de  $A$  et tout sous-objet  $\kappa$ -compact  $U \hookrightarrow L$ , il existe un préfaisceau  $\kappa$ -compact intermédiaire  $V$  entre  $U$  et  $L$  tel que l'inclusion*

$$K \times_L V \hookrightarrow V$$

*soit dans  $A$*

*alors  $A = \text{cell}(I)$  pour un certain ensemble  $I$  de monomorphismes.*

*Démonstration*

TODO : Si  $\kappa$  est un cardinal régulier suffisamment grand, alors il existe d'après TODO et l'axiome du choix un ensemble  $\Omega$  de préfaisceaux  $\kappa$ -compacts tel que tout préfaisceau  $\kappa$ -compact sur  $\mathbf{C}$  est isomorphe à un élément de  $\Omega$ .

Le TODO permet alors d'appliquer le lemme C.3 à  $\Omega$  et  $A$ , qui fournit l'égalité

$$A = \text{cell}(J)$$

où  $J$  est la classe des flèches de  $A$  de but appartenant à  $\Omega$ . L'axiome du choix permet de construire une partie  $I$  de  $J$  en choisissant, s'il en existe, un représentant appartenant à  $A$  de chaque *classe* (qui sont en fait des ensembles dans un univers plus grand) d'isomorphisme de sous-objets de  $\Omega$ .

La classe des sous-objets d'un préfaisceau étant essentiellement petite,  $I$  est en fait un ensemble par remplacement, et  $A = \text{cell}(I)$ .

**3.2 Cylindres**

**C.5. Segment universel** — Le **segment universel** est la petite catégorie  $\text{Seg}$  obtenue comme quotient de la catégorie libre sur deux objets engendrée par les morphismes

$$\begin{array}{ccc} & i_1 & \\ \Delta^0 & \begin{array}{c} \xrightarrow{\quad} \\ \xleftarrow{p} \\ \xrightarrow{\quad} \end{array} & \Delta^1 \\ & i_0 & \end{array}$$

par les relations  $pi_0 = \text{id}$  et  $pi_1 = \text{id}$ . Autrement dit, on impose  $\text{End}(\Delta^0) = \{\text{id}\}$ .

**Définition C.6.** Si  $X$  est un préfaisceau sur une petite catégorie  $\mathbf{C}$ , un **cylindre** sur  $X$  est un foncteur  $F: \text{Seg} \rightarrow \hat{\mathbf{C}}$  envoyant  $\Delta^0$  sur  $X$  tel que la flèche

$$((i_0)_*, (i_1)_*): X \amalg X \rightarrow F(\Delta^1)$$

est un monomorphisme, en notant  $\hat{\mathbf{C}} := \text{Fon}(\mathbf{C}^{\text{op}}, \text{Ens})$  la catégorie des préfaisceaux sur  $\mathbf{C}$ .

La sous-catégorie pleine de  $\text{Fon}(\text{Seg}, \hat{\mathbf{C}})$  formée des cylindres est notée  $\text{Cyl}(\mathbf{C})$ . Un **cylindre fonctoriel** de  $\hat{\mathbf{C}}$  est alors une section

$$\hat{\mathbf{C}} \rightarrow \text{Cyl}(\mathbf{C})$$

du foncteur  $\text{Cyl}(\mathbf{C}) \rightarrow \hat{\mathbf{C}}$  défini par la formule  $F \mapsto F(\Delta^0)$ .

**C.7. Notation** — Si  $\mathcal{J}$  est un cylindre fonctoriel sur  $\hat{\mathbf{C}}$ , on peut noter  $- \otimes \Delta^1$  pour désigner le foncteur  $\mathcal{J}(-)(\Delta^1)$  lorsque le contexte le permet.

On fixe dans la suite une petite catégorie  $\mathbf{C}$ .

**Définition C.8.** Soient  $\mathcal{J}$  un cylindre fonctoriel sur  $\hat{\mathbf{C}}$ , et  $X$  et  $Y$  deux préfaisceaux sur  $\mathbf{C}$ .

- 1) Étant données deux flèches  $f, g: X \rightarrow Y$  de  $\hat{\mathbf{C}}$ , une  **$\mathcal{J}$ -homotopie élémentaire** de  $f$  vers  $g$  est une flèche

$$h: X \otimes \Delta^1 \rightarrow Y$$

vérifiant  $h(i_0)_* = f$  et  $h(i_1)_* = g$ .

- 2) La relation d'équivalence sur  $\text{Hom}_{\hat{\mathbf{C}}}(X, Y)$  engendrée par la relation de  $\mathcal{J}$ -homotopie élémentaire est appelée  **$\mathcal{J}$ -homotopie**.

**Proposition C.9.** *La relation d'homotopie sur les morphismes de  $\hat{\mathcal{C}}$  induite par un cylindre fonctoriel est compatible à la composition.*

*Démonstration*

Il suffit de montrer que c'est le cas pour la relation d'homotopie élémentaire. Celle-ci est manifestement stable par composition à gauche, et la fonctorialité de  $X \mapsto X \otimes \Delta^1$  montre la stabilité par composition à droite.

**C.10.** *Structure homotopique induite par un cylindre* — Si  $\mathcal{J}$  est un cylindre fonctoriel sur  $\hat{\mathcal{C}}$ , la proposition C.9 montre que l'on obtient bien une catégorie  $\text{Ho}_{\mathcal{J}}(\hat{\mathcal{C}})$  à partir de  $\hat{\mathcal{C}}$  en quotientant tous les morphismes par la relation de  $\mathcal{J}$ -homotopie, dite **catégorie de  $\mathcal{J}$ -homotopie** de  $\hat{\mathcal{C}}$ .

La catégorie  $\hat{\mathcal{C}}$  hérite alors d'une structure homotopique, induite en tirant en arrière les isomorphismes par la flèche canonique

$$\hat{\mathcal{C}} \rightarrow \text{Ho}_{\mathcal{J}}(\hat{\mathcal{C}})$$

Les équivalences ainsi obtenues sont appelées **équivalences de  $\mathcal{J}$ -homotopie**.

**Définition C.11.** Un **cylindre de Cisinski** sur  $\hat{\mathcal{C}}$  est un cylindre fonctoriel sur  $\hat{\mathcal{C}}$  tel que

- (i) le foncteur  $- \otimes \Delta^1$  est cocontinu et préserve les monomorphismes
- (ii) pour tout monomorphisme  $i: K \hookrightarrow L$  de  $\hat{\mathcal{C}}$ , on a des carrés cartésiens

$$\begin{array}{ccc} K & \xrightarrow{i} & L \\ (i_\varepsilon)_* \downarrow & \lrcorner & \downarrow (i_\varepsilon)_* \\ K \otimes \Delta^1 & \xrightarrow{i_*} & L \otimes \Delta^1 \end{array}$$

pour tout  $\varepsilon = 0, 1$ .

**Proposition C.12.** *Étant donné un cylindre de Cisinski sur  $\hat{\mathcal{C}}$ , le carré*

$$\begin{array}{ccc} K \otimes \partial\Delta^1 & \xrightarrow{i_*} & L \otimes \partial\Delta^1 \\ \downarrow & & \downarrow \\ K \otimes \Delta^1 & \xrightarrow{i_*} & L \otimes \Delta^1 \end{array}$$

*induit par un monomorphisme  $i: K \hookrightarrow L$  est cartésien.*

*Démonstration*

Si  $X \rightarrow A$  est un morphisme de  $\hat{\mathcal{C}}$ , alors le foncteur

$$- \times_A X: \hat{\mathcal{C}}_{/A} \rightarrow \hat{\mathcal{C}}$$

commute aux coproduits. Il suffit en effet d'après la proposition 1.4 de le vérifier terme à terme dans **Ens**, où c'est évident.

L'évaluation du carré cartésien naturel

	$\begin{array}{ccc} - \times_A X & \longrightarrow & X \\ \downarrow & & \downarrow \\ - & \longrightarrow & A \end{array}$
pour $X \rightarrow A$ le morphisme	
	$i_*: K \otimes \Delta^1 \hookrightarrow L \otimes \Delta^1$
en les objets $L \otimes \{0\}$ et $L \otimes \{1\}$ puis	
	$L \otimes \partial\Delta^1 := L \otimes \{0\} \amalg L \otimes \{1\}$
permet de conclure.	

*Remarque C.13.* Étant donné un carré cartésien

$$\begin{array}{ccc} Z & \longrightarrow & Y \\ \downarrow \lrcorner & & \downarrow \\ X & \longrightarrow & T \end{array}$$

au-dessus de deux monomorphismes de  $\hat{\mathbf{C}}$ , on vérifie en utilisant la proposition 1.4 que la flèche induite  $X \amalg_Z Y \rightarrow T$  est encore un monomorphisme. On le notera  $X \cup Y \hookrightarrow T$ .

En particulier, un cylindre de Cisinski donne lieu, pour tout monomorphisme  $i: K \hookrightarrow L$ , à des inclusions

$$K \otimes \Delta^1 \cup L \otimes \{\varepsilon\} \hookrightarrow L \otimes \Delta^1$$

pour  $\varepsilon = 0, 1$ . Elles factorisent en fait par

$$K \otimes \Delta^1 \cup L \otimes \partial\Delta^1 \hookrightarrow L \otimes \Delta^1$$

et les inclusions  $L \otimes \{\varepsilon\} \subseteq L \otimes \partial\Delta^1$ .

### 3.3 Structures de Cisinski

Dans la suite  $\mathbf{C}$  désigne une petite catégorie. L'objectif de cette section consiste à munir la catégorie  $\hat{\mathbf{C}}$  des préfaisceaux sur  $\mathbf{C}$  d'une structure de catégorie de modèles dont les cofibrations sont les monomorphismes. On appliquera dans le corps du texte cette construction à la catégorie  $\mathbf{sEns}$  des ensembles simpliciaux par deux fois, pour obtenir les structures de Kan et de Joyal respectivement.

**Définition C.14.** Si  $\mathcal{J}$  est un cylindre de Cisinski sur  $\hat{\mathbf{C}}$ , une classe d'[extensions  \$\mathcal{J}\$ -anodines](#) est une classe  $A$  de morphismes de  $\hat{\mathbf{C}}$  vérifiant

- (i) il existe un *ensemble*  $\Lambda$  de monomorphismes de préfaisceaux tel que  $A = (\Lambda^{\square})_{\square}$
- (ii) si  $i: K \hookrightarrow L$  est un monomorphisme alors la flèche

$$K \otimes \Delta^1 \cup L \otimes \{\varepsilon\} \hookrightarrow L \otimes \Delta^1$$

est dans  $A$  pour  $\varepsilon = 0, 1$



(iii) si  $i: K \hookrightarrow L$  est dans  $A$ , alors la flèche

$$K \otimes \Delta^1 \cup L \otimes \partial \Delta^1 \hookrightarrow L \otimes \Delta^1$$

également.

On dit que  $\Lambda$  engendre la classe  $A$  d'extensions anodines.

#### Justification

L'énoncé de (iii) utilise implicitement que toutes les flèches de  $A$  sont des monomorphismes. On va montrer que c'est une conséquence de l'axiome (i).

La catégorie  $\mathbf{C}$  est petite, donc la catégorie  $\hat{\mathbf{C}}$  des préfaisceaux sur  $\mathbf{C}$  est  $\omega$ -présentable (TODO : ajouter référence). En particulier l'argument du petit objet A.25 s'applique à tout ensemble de morphismes de  $\hat{\mathbf{C}}$ . Dans notre cas, la proposition A.25 s'applique en particulier à  $\Lambda$ , et le lemme du rétract montre que les éléments de  $A$  sont exactement les rétracts des flèches de  $\text{cell}(\Lambda)$ .

L'exemple A.19 montre que la classe des monomorphismes de  $\mathbf{Ens}$  est stable par somme, composée transfinie et passage au rétract (et même somme amalgamée mais on n'en a pas besoin). Or « être un monomorphisme de  $\hat{\mathbf{C}}$  » est une propriété qui se vérifie terme à terme, donc la classe des monomorphismes de  $\hat{\mathbf{C}}$  est stable par les mêmes opérations. Il vient finalement que chaque flèche de  $A$  est en particulier un monomorphisme.

**Définition C.15.** Une **structure de Cisinski** sur  $\hat{\mathbf{C}}$  est un couple  $(\mathcal{J}, A)$  où  $\mathcal{J}$  est un cylindre de Cisinski sur  $\hat{\mathbf{C}}$  et  $A$  une classe d'extensions  $\mathcal{J}$ -anodines.

Étant donnée une structure  $(\mathcal{J}, A)$  de Cisinski sur  $\hat{\mathbf{C}}$ , on dit qu'un morphisme  $f: X \rightarrow Y$  de préfaisceaux est

- une **cofibration** si c'est un monomorphisme
- une **fibration triviale** (resp. **fibration naïve**) s'il possède la propriété de relèvement à droite relativement aux cofibrations (resp. extensions anodines)
- une **équivalence faible** s'il induit des bijections

$$f^*: \text{Hom}_{\text{Ho}_{\mathcal{J}}(\hat{\mathbf{C}})}(Y, T) \simeq \text{Hom}_{\text{Ho}_{\mathcal{J}}(\hat{\mathbf{C}})}(X, T)$$

pour tout préfaisceau  $T$  **fibrant**, c'est-à-dire tel que  $T \rightarrow \{*\}$  est une fibration naïve

- une **cofibration triviale** si c'est une cofibration ainsi qu'une équivalence faible
- une **fibration** s'il possède la propriété de relèvement à droite relativement aux cofibrations triviales.

**C.16. Équivalences d'homotopie et équivalences faibles** — Si  $\mathcal{J}$  est un cylindre de Cisinski sur  $\hat{\mathbf{C}}$ , alors une équivalence de  $\mathcal{J}$ -homotopie est manifestement une équivalence faible relativement à n'importe quelle structure de Cisinski  $(\mathcal{J}, A)$ .

De plus les équivalences faibles ont également la propriété du deux sur six, car c'est le cas des isomorphismes de  $\mathbf{Ens}$ . La structure  $(\mathcal{J}, A)$  induit par conséquent une structure homotopique sur  $\hat{\mathbf{C}}$  avec plus d'équivalences que celle discutée en C.10 induite par le seul cylindre  $\mathcal{J}$ .

Remarquons cependant qu'une équivalence faible entre préfaisceaux *fibrants* est une équivalence d'homotopie d'après le lemme de Yoneda.

**Théorème C.17.** *TODO : une structure de Cisinski donne lieu à une structure de catégorie de modèles sur  $\hat{\mathbf{C}}$  à engendrement cofibrant. (et les (co)fibrations triviales + objets fibrants sont bien ce que l'on a défini)*

TODO : c'est quoi les cylindres sur cette cat de modèles ? + rapport avec notre cylindre de Cisinski  $\mathcal{J}$  + quand est-ce que notre structure est propre (comme la structure de Quillen sur  $\mathbf{sEns}$  par exemple) ?

TODO :  $A$ -localiseurs ?

TODO : permet de construire les structures de modèles classique + Joyal sur  $\mathbf{sEns}$